

# DÖRTGEN DELİKLİ KOMPOZİT LEVHALARDA ELASTO-PLASTİK GERİLME ANALİZİ

Muzaffer TOPCU\*, Ayşe ÖNDÜRÜCÜ\*\*

\*Pamukkale Üniversitesi, Mühendislik Fakültesi, Makine Mühendisliği Bölümü, Denizli  
\*\*Süleyman Demirel Üniversitesi, Mühendislik-Mimarlık Fakültesi, Makine Mühendisliği Bölümü, Isparta

Geliş Tarihi : 10.05.1999

## ÖZET

Bu çalışmada, üniform olarak dağılmış çekme yüküne maruz delikli kompozit levhalarda sonlu elemanlar yöntemiyle elasto-plastik gerilme analizi yapılmıştır. Çözümde dokuz düğümlü dörtgen izoparametrik elemanlar kullanılmıştır. 0 ve 90 derece takviye edilmiş kompozit levhalarda farklı delik geometrileri için artık gerilme değişimleri incelenmiştir.

**Anahtar Kelimeler :** Elasto-plastik gerilme analizi, Sonlu elemanlar metodu, Kompozit malzemeler, Delikli levha

## ELASTO-PLASTIC STRESS ANALYSIS OF COMPOSITE PLATES WITH QUADRILATERAL HOLES

## ABSTRACT

In this study, elasto-plastic stress analysis have been made for composite plates containing a central hole subjected to uniaxial tension under various uniformly distributed loads. In the solution, isoparametric quadrilateral elements with nine nodes have been used. For different geometries of the holes and 0 and 90 degrees reinforcement angles, residual stress variations have been investigated.

**Key Words:** Elasto-plastik stress analysis, Finite element method, Composite materials, Plate with hole

## 1. GİRİŞ

Kompozit levhalarla ilgili birçok araştırma yapılmıştır. Theocaris ve Marketos (1964) ortasında delik bulunan ve iki ucundan çekilen düzlem levha problemlerini ele alarak elektriksel analoji metodu ile elasto-plastik gerilme analizi yapmışlardır. Jong (1981), dikdörtgen delikli ortotropik plaklarda meydana gelen gerilmeleri incelemiştir. Bahai-El-Din and Dvorak (1982), düzlem mekanik yükleme durumunda simetrik metal matrisli çok tabaklı kompozit plakların elasto-plastik davranışını sonlu eleman yöntemiyle ve deneySEL olarak araştırmışlardır. Gerhardt (1984), düzlem halde elips ve dairesel delikli anizotrop levhalar için sonlu elemanlar metodu ile gerilme analizi yapmıştır. Karakuzu ve Sayman (1994), delikli ortotropik dönen disklerde sonlu elemanlar metodu kullanarak

farklı oryantasyon açıllarında, yarıçap ve yükleme durumlarını değiştirerek plastik bölge dağılımlarını ve iç gerilmeleri elde etmişlerdir. Dadras ve Shivasankar (1996), çok tabaklı kompozit plakları yüksek sıcaklık altında birleştirmede ortaya çıkan artık gerilme dağılımını sonlu elemanlar ve sonlu farklar yöntemiyle incelemiştir. Karakuzu et all. (1997), metal matrisli çentikli levhalarda sonlu eleman yöntemiyle elasto-plastik gerilme analizi yapmışlardır. Özel ve Şen (1998), alüminyum-çelikten imal edilmiş çok tabaklı deliksiz ve delikli kompozit plakta üstten basınçla yüklemeye sonlu eleman yöntemiyle elastik-plastik gerilme analizi yapmışlardır. Topcu (1998), elasto-plastik gerilme analizi için bir bilgisayar programı vererek metal matrisli kompozit levhalar için örnek çözümler yapmıştır.

Bu çalışmada, düzgün yayılı çekme yüküne maruz dörtgen delikli 0 ve 90 derece takviye edilmiş kompozit levhalar için elasto-plastik gerilme analizi yapılmıştır. Farklı yükleme durumları için delik civarında meydana gelen artık gerilmeler incelenmiştir.

## 2. GERİLME ANALİZİ

Ortotropik malzemede düzlem gerilme halinde gerilme-şekil değiştirmeye bağıntısı aşağıdaki eşitliklerle ifade edilebilir (Tirupathi and Ashok, 1991; Reddy, 1993).

$$\{\sigma_{1,2}\} = [D]\{\varepsilon_{1,2}\} \quad (1)$$

Burada

$$\{\sigma_{1,2}\} = \{\sigma_1 \ \ \sigma_2 \ \ \tau_{12}\}^T \quad (2)$$

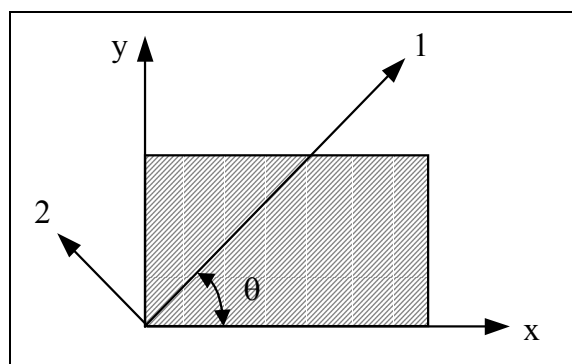
$$\{\varepsilon_{1,2}\} = \{\varepsilon_1 \ \ \varepsilon_2 \ \ \gamma_{12}\}^T \quad (3)$$

olup D elastisite matrisi ise

$$D = \begin{bmatrix} \frac{E_1}{1-\nu_{12}\nu_{21}} & \frac{\nu_1 E_2}{1-\nu_{12}\nu_{21}} & 0 \\ \frac{\nu_2 E_2}{1-\nu_{12}\nu_{21}} & \frac{E_2}{1-\nu_{21}\nu_{12}} & 0 \\ 0 & 0 & G_{12} \end{bmatrix} \quad (4)$$

şeklindedir.

1 ve 2 indisleri takviye doğrultuları, x ve y referans eksenleridir (Şekil 1). x ve y eksenindeki gerilme ve şekil değiştirme bileşenleri



Şekil 1. Eksen takımları arasındaki ilişki

$$\{\sigma_{x,y}\} = [T]^{-1} \cdot \{\sigma_{1,2}\} \quad (5)$$

$$\{\varepsilon_{1,2}\} = [T]\{\varepsilon_{x,y}\} \quad (6)$$

olarak yazılır. Burada  $[T]$  transformasyon matrisi olup

$$[T] = \begin{bmatrix} \cos^2\theta & \sin^2\theta & \sin 2\theta \\ \sin^2\theta & \cos^2\theta & -\sin 2\theta \\ -\sin 2\theta & \sin 2\theta & \cos 2\theta \end{bmatrix} \quad (7)$$

şeklindedir.  $\theta$  ise takviye açısıdır. 1 ve 4 nolu eşitlikler yardımıyla

$$\{\sigma_{x,y}\} = [\bar{D}]\{\varepsilon_{xy}\} \quad (8)$$

yazılabilir. Burada  $\bar{D}$  genel elastisite matrisi aşağıdaki bağıntı ile verilir:

$$[\bar{D}] = [T]^{-1} [D] [T] \quad (9)$$

## 3. ELASTO-PLASTİK ANALİZ

Eşdeğer gerilme akma dayanımını aştığı durumda gerilme analizi elasto-plastiktir. Bu çalışmada eşdeğer gerilmeler Tsai-Hill akma kriterine göre aşağıdaki bağıntı ile hesaplanmıştır:

$$\bar{\sigma}^2 = a_1 \sigma_1^2 + 2a_{12} \sigma_1 \sigma_2 + a_2 \sigma_2^2 + a_3 \tau_{12}^2 \quad (10)$$

Burada  $\bar{\sigma}$  eşdeğer gerilme,  $\sigma_1, \sigma_2$  ve  $\tau_{12}$  gerilme bileşenleri;  $a_1, a_{12}, a_2$  ve  $a_3$  deneyel olaraq elde edilen anizotropik malzeme parametrelerdir. Bu akma kriteri matris formunda yazılırsa

$$\{\bar{\sigma}\}^2 = \{\sigma_{1,2}\}^T [A] \{\sigma_{1,2}\} \quad (11)$$

şeklini alır. Burada

$$A = \begin{bmatrix} a_1 & a_{12} & 0 \\ a_{12} & a_2 & 0 \\ 0 & 0 & a_3 \end{bmatrix} \quad (12)$$

şeklinde ifade edilir.

Anizotropi parametreleri şu şekilde saptanır: Şekil 1'de gösterilen 1 doğrultusunda çekme deneyi yapılrsa 1 doğrultusu ve referans eksenin çakıştığından  $\bar{\sigma} = \sigma_1 = X$  'dır. Burada X, 1 doğrultusundaki akma gerilmesidir. Diğer gerilme

bileşenleri sıfır olduğundan  $a_1 = 1$  bulunur. Aynı şekilde işlemler yapılrsa diğer parametreler

$$a_{12} = -0.5, a_2 = \frac{X^2}{Y^2} \text{ ve } a_3 = \frac{X^2}{S^2} \quad (13)$$

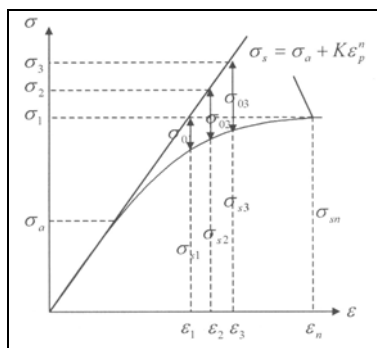
olarak elde edilir. Burada Y, 2 doğrultusundaki akma gerilmesi, S ise kayma akma gerilmesidir. Bu durumda kompozit malzemeler için Tsai-Hill akma kriteri şu şekildedir (Jones, 1975; Sayman ve Aksoy 1982).

$$\frac{\sigma_1^2}{X^2} - \frac{\sigma_1 \sigma_2}{X^2} + \frac{\sigma_2^2}{Y^2} + \frac{\tau_{12}^2}{S^2} = 1 \quad (14)$$

olarak bilinmektedir.

Elasto-plastik gerilme analizi için nümerik çözüm yöntemlerinden Başlangıç Gerilmesi Metodu kullanılmıştır.

Şekil 2'de verilen bu yönteme göre lineer elastik olarak hesaplanmış  $\sigma_1$  gerilmesinin toplam deformasyonu  $\varepsilon_1$ 'dir. Elasto-plastik gerilme,



Şekil 2. Başlangıç gerilmesi metodu

$$\sigma_s = \sigma_a + K\varepsilon_p^n \quad (15)$$

olarak bilinmektedir. Burada  $\sigma_a$  akma gerilmesi ve  $\sigma_s$ 'de elasto-plastik gerilmedir. K ve n ise sırasıyla plastik deformasyon çarpanı ve plastik deformasyon üstelidir. Tek eksenli durumda  $\sigma_1$  gerilmesine karşılık gelen başlangıç gerilmesi  $\sigma_{01}$ ,

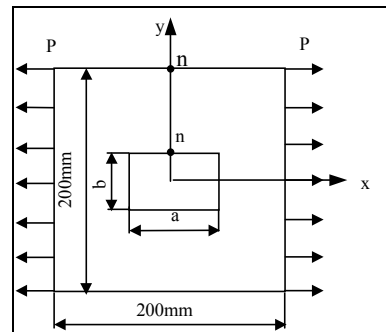
$$\sigma_{01} = \sigma_1 - \sigma_{s1} \quad (16)$$

olarak hesaplanır. Gerilme  $\Delta\sigma$  kadar artırılarak buna karşılık gelen  $\varepsilon_2$  değeri hesaplanır.  $\varepsilon_2$ 'ye karşılık gelen gerçek gerilme ile  $\sigma_2$  arasındaki fark  $\sigma_{02}$ 'yi verir. Benzer şekilde  $\sigma_3$  ve diğer gerilmeler hesaplanır. Bu iterasyon  $\varepsilon_n - \varepsilon_{n-1}$  farkı sıfır veya çok küçük bir değer oluncaya kadar devam eder. İki

eksenli durumda formülasyon vektörel olarak ifade edilir.

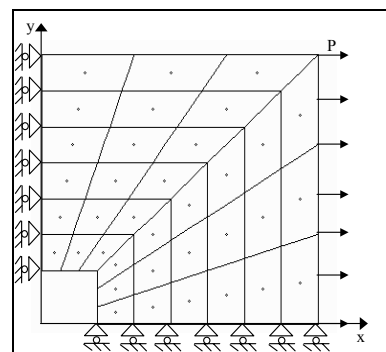
#### 4. PROBLEMİN SONLU ELEMAN MODELİ VE ÇÖZÜM

$200 \times 200 \text{ mm}^2$  ve  $t = 5 \text{ mm}$  kalınlığında düzgün yaylı çekme yüküne maruz Al-Çelik Kompozit levha ele alınmıştır (Şekil 3).



Şekil 3. Düzgün yaylı çekme yüküne maruz dörtgen delikli levha

Problem düzlem levha olarak tanımlanmış olup 9 düğümlü izoparametrik dörtgen elementler kullanılmıştır. Düzlem levha problemlerinde her düğümün iki serbestlik derecesi vardır. Problem iki eksene göre simetrik olduğu için 0 ve 90 derece takviye edilmiş kompozit malzemeler için levhanın  $1/4$ 'luk kısmının ele alınıp incelemesi yeterlidir. Problemin sonlu eleman modeli 169 düğüm ve 36 elemandan oluşmuştur (Şekil 4).



Şekil 4 Problemin sonlu eleman modeli

Tablo 1'de Al-Çelik kompozit malzemenin mekanik özellikleri verilmiştir. Bu değerler deneyel olarak elde edilmiştir. Çelik fiber hacim oranı 0.40'tır.

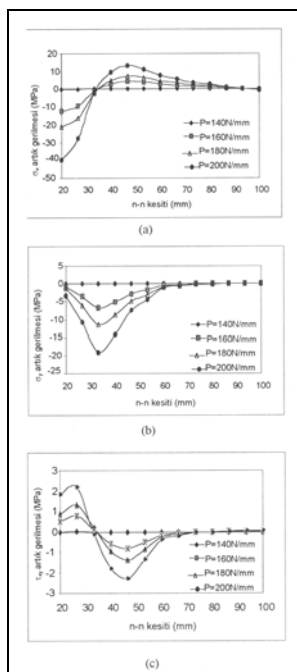
Tablo 1. Al-Çelik Kompozitinin Mekanik Özellikleri

$E_1$	83	GPa	X	130	GPa
$E_2$	56	GPa	Y	54	GPa
$G_{12}$	50.4	GPa	S	23.5	GPa
$v_{12}$	0.37		K	270	GPa
			n	0.63	

## 5. SONUÇLAR ve DEĞERLENDİRME

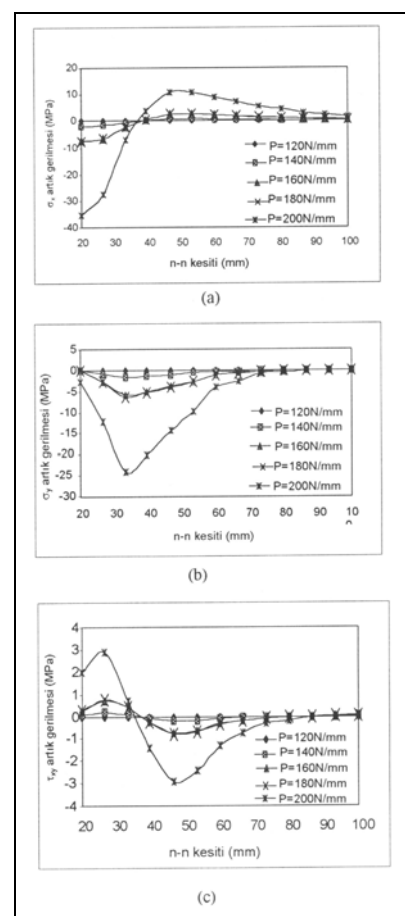
Bu çalışmada, ortasında kare veya dikdörtgen bir delik bulunan 0 ve 90 derece takviye edilmiş kompozit levhalar için elasto-plastik gerilme analizi yapılmıştır. Farklı (axb) boyutlarındaki delikler için levhanın n-n kritik kesiti üzerindeki artik gerilme değişimleri incelenmiştir.

Şekil 5'te merkezinde (40 x 40) mm kare bir delik bulunan 0° takviyeli kompozit levha için n-n kesitinde meydana gelen artik gerilmeler görülmektedir. Levha  $P = 140\text{N/mm}$  değerinde akmaya başlamış ve bu  $P$  yükü kademeli olarak artırılarak farklı  $P$  yükleri için  $\sigma_x$ ,  $\sigma_y$ ,  $\tau_{xy}$  artik gerilmeleri elde edilmiştir. Şekil 5a'da verilen  $\sigma_x$  artik gerilmelerinin n-n kesiti boyunca 30 mm'ye kadar bası karakterli, 30mm'den sonra çeki karakterli olduğu görülmektedir.  $\sigma_x$  artik gerilme değerleri delik dibinde en büyük, kesitin uç kısmında azalarak sıfır doğru gitmektedir. Şekil 5b'de  $\sigma_y$  artik gerilmeleri 70 mm'ye kadar bası karakterli, 70 mm'den sonra sıfır olmaktadır. Şekil 5c'de verilen  $\tau_{xy}$  artik gerilmeleri 30 mm'ye kadar çeki, 30 mm'den 70 mm'ye kadar bası karakterli, 70mm'den sonra sıfır doğru gitmektedir. Ayrıca Şekil 5'ten  $\tau_{xy}$  artik gerilme değerlerinin  $\sigma_x$  ve  $\sigma_y$  artik gerilmelerinden daha küçük olduğu gözlenmiştir.



Şekil 5 (40 x 40) mm kare delikli 0° takviyeli kompozit levha için n-n kritik kesiti üzerinde meydana gelen artik gerilmeler

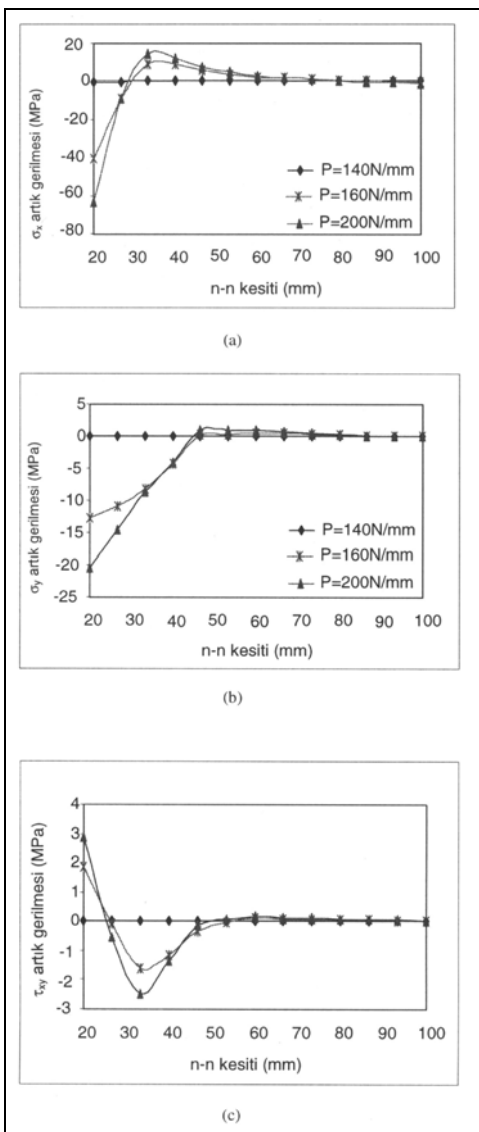
Şekil 6'da ise 90° takviyeli kare deliğe sahip kompozit levha için n-n kesiti boyunca artik gerilme değişimleri verilmiştir. Şekil 6a'da  $\sigma_x$  artik gerilmeleri 0° takviyeli levhada meydana gelen  $\sigma_x$  artik gerilmelerine benzer karakterde ancak aynı  $P$  yükü için daha küçük değerdedir. Şekil 6 b'de verilen  $\sigma_y$  artik gerilmeleri 0° takviyeli levhada olduğu gibi n-n kesiti boyunca 70 mm'ye kadar bası karakterli, 70mm'den sonra sıfır doğru gitmektedir. Şekil 6c'de verilen  $\tau_{xy}$  artik gerilmeleri 0° takviyeli levhada meydana gelen  $\tau_{xy}$  artik gerilmelerine benzer karakterde olduğu fakat aynı  $P$  yükü için daha büyük değerde olduğu gözlenmektedir.



Şekil 6. (40 x 40) mm kare delikli 90° takviyeli kompozit levha için n-n kritik kesiti üzerinde meydana gelen artik gerilmeler

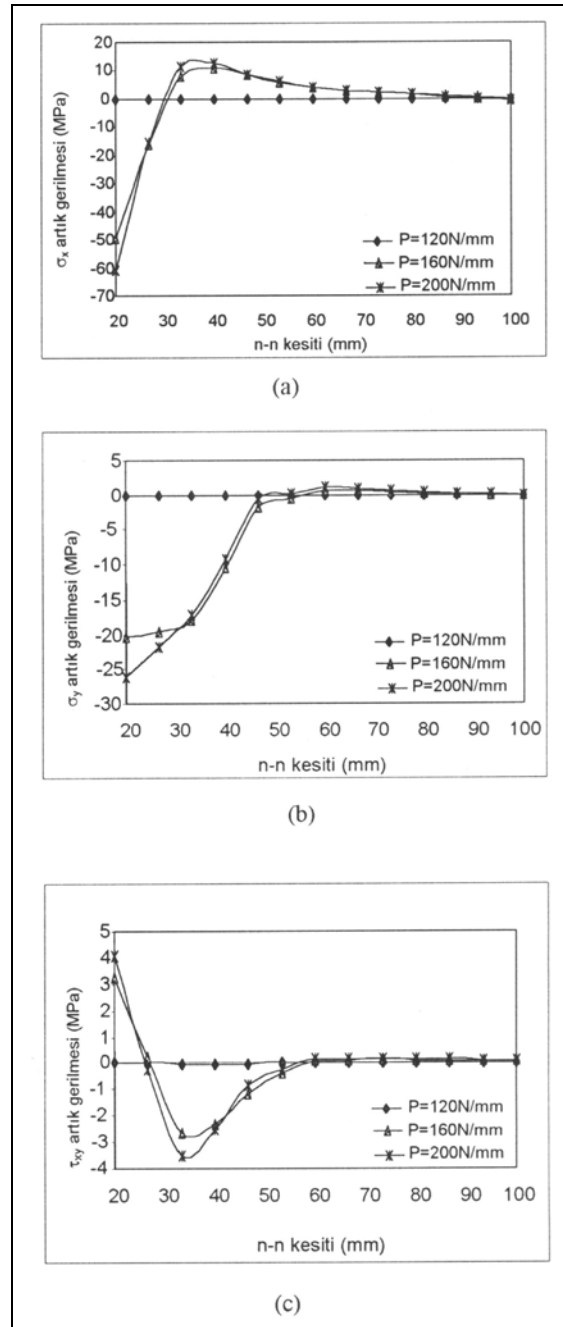
Şekil 7'de (20 x 40) mm dikdörtgen delikli 0° takviyeli kompozit levha için n-n kesitinde meydana gelen artik gerilmeler verilmiştir. Şekil 7a'da  $\sigma_x$  artik gerilmeleri n-n kesiti boyunca 30 mm'ye kadar bası, 30-70 mm arası çeki karakterli, 70 mm'den 100mm'ye kadar sıfır olduğu görülmektedir. Şekil 7b'de  $\sigma_y$  artik gerilmeleri 45 mm'ye kadar

bası, 45-80 mm arası çeki karakterli, 80-100 mm arası sıfırdır. Şekil 7c'de verilen  $\tau_{xy}$  artık gerilmelerinin ise 25 mm'ye kadar çeki, 25 mm - 70 mm arası başı karakterli, 70-100 mm arası sıfır olduğu gözlenmiştir.



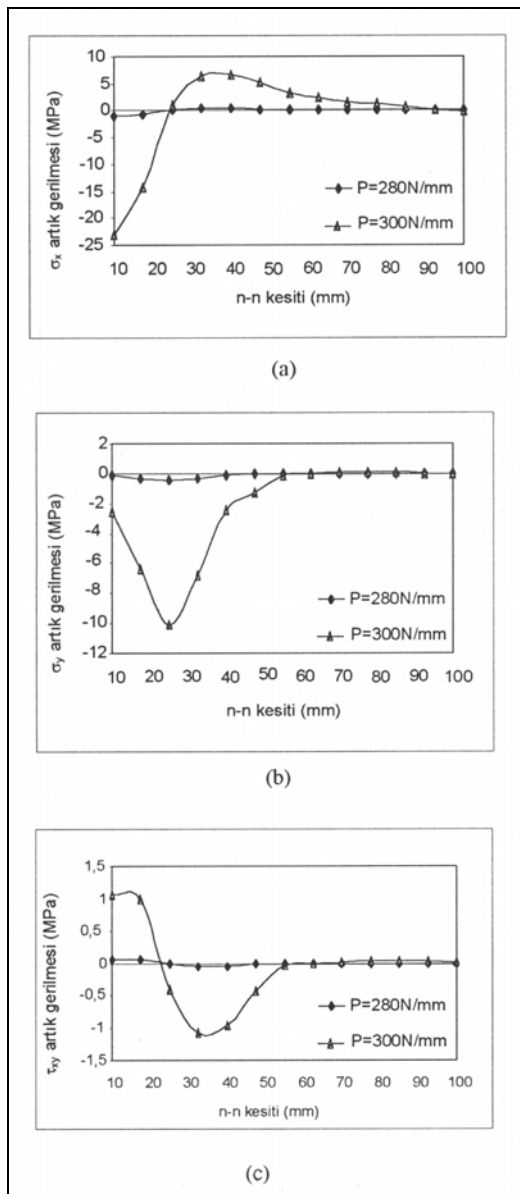
Şekil 7. (20 x 40) mm dikdörtgen delikli 0° takviyeli kompozit levha için n-n kritik kesiti üzerinde meydana gelen artık gerilmeler

Şekil 8'de Şekil 7 ile aynı dikdörtgen deliğe sahip 90° takviyeli kompozit levhada meydana gelen artık gerilmeler ele alınmıştır. Burada verilen artık gerilmelerin Şekil 7'de verilen 0° takviyeli levhada meydana gelen artık gerilmelerle aynı karakterde olduğu;  $\sigma_y$  ve  $\tau_{xy}$  artık gerilmelerinin aynı  $P$  yüklerinde 0° takviyeli levhaya göre daha büyük değerde olduğu görülmektedir.



Şekil 8 (20x40)mm dikdörtgen delikli 90° takviyeli kompozit levha için n-n kritik kesiti üzerinde meydana gelen artık gerilmeler

Şekil 9'da (40 x 20) mm dikdörtgen delikli 0° takviyeli kompozit levhada  $n-n$  kesiti boyunca meydana gelen artık gerilmeler verilmiştir.  $\sigma_x$  artık gerilmeleri  $n-n$  kesiti boyunca 25 mm'ye kadar başı, 25 mm'den sonra çeki karakterlidir.  $\sigma_y$  artık gerilmeleri ise 50 mm'ye kadar başı karakterli, 50 mm'den sonra sıfır olmaktadır.  $\tau_{xy}$  artık gerilmeleri 25 mm'ye kadar çeki, 25-50 mm arası başı karakterli ve 50 mm'den sonra sıfırdır.

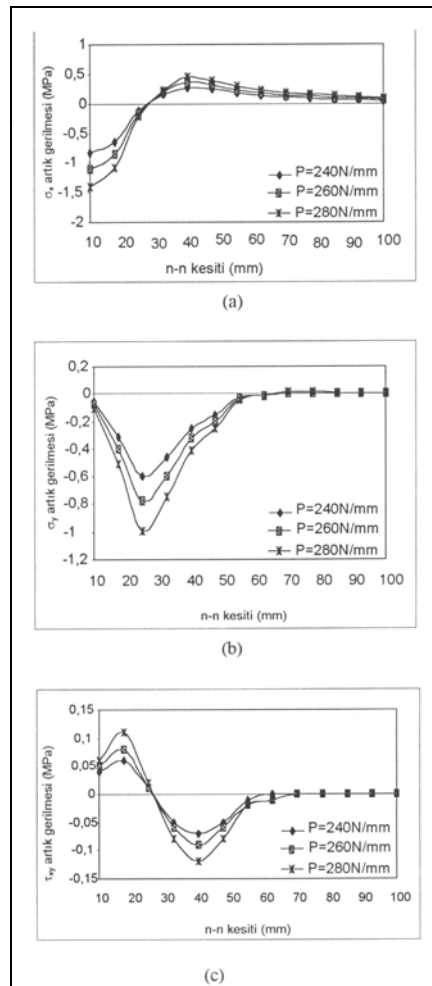


Şekil 9. (40 x 20) mm dikdörtgen delikli 0° takviyeli kompozit levha için n-n kritik kesiti üzerinde meydana gelen artık gerilmeler

Şekil 10'daki (40 x 20) mm dikdörtgen delikli 90° takviyeli kompozit levha içinde artık gerilmeler 0° takviyeli levha ile benzer karakterdedir.

Yapılan incelemelerden şu sonuçlar çıkarılmıştır:

- 1) Artık gerilmeler delik civarında daha büyüktür. Delik dibinden uzaklaşıkça artık gerilmeler aniden azalmaktır ve sıfıra doğru gitmektedir.
- 2) Yükleme miktarı arttıkça artık gerilmelerde de bir artış olduğu gözlenmiştir.
- 3)  $\tau_{xy}$  kayma artık gerilmeleri diğer artık gerilmeler yanında oldukça küçüktür.



Şekil 10. (40 x 20) mm dikdörtgen delikli 90° takviyeli kompozit levha için n-n kritik kesiti üzerinde meydana gelen artık gerilmeler

## 6. KAYNAKLAR

Bahai-El-Din, Y. A., Dvorak, G. J. 1982. Plasticity Analysis of laminated Composite Plates, ASME Journal of Applied Mechanics, Vol. 30, 740-746.

Dadras, P., Shivashankar, S. 1996. Bonding Residual Stresses in High Temperature Composites, Computer & Structures, Vol. 59, 407-417.

Gerhart, T. D. 1984. A Finite Element Approach for Stress Analysis of Notched Anisotropic Materials, ASME Journal of Applied Mechanics, Vol. 51, s. 804-810

Jones, R. M. 1975. Mechanics of Composite Materials, Mc. Graw-Hill, Kogosusha Ltd.

Jong, T. 1981. Stresses Around Rectangular Holes in Orthotropic Plates, J. Composite Materials, Vol. 15, 311-328.

- Karakuzu, R., Özel, A. and Sayman, O. 1997. Elasto-Plastic finite element analysis of metal matrix plates with edge notches. *Computer & Structures*, Vol. 63, 551-558.
- Karakuzu, R., Sayman, O. 1994. Elasto-Plastic Finite Element Analysis of Orthotropic Rotating Discs with Holes, *Computers & Structures*, Vol. 51, 695-703.
- Özel, A., Şen, S. 1998. "Çok Tabakalı Kompozit Plakalarda Üstten Basınçla Yüklemeye Elastik-Plastik Gerilme Analizi" 8. Uluslar Arası Makine Tasarım ve İmalat Kongresi, s. 175-185.
- Reddy, J. N. 1993. An Introduction to the Finite Element Method, McGraw-Hill Inc., New York, USA.
- Sayman, O., Aksoy, S. 1982. Kompozit Malzemeler, Ege Üniversitesi Matbaası, İzmir.
- Theocaris, P. S., Marketos, E. 1964. Elasto-Plastic Analysis of Perforated Thin Strips of a Strain Hardening Material, *Journal Mech. Phys. Solids.*, Vol. 12, 377-390.
- Tirupathi, R. C., Ashok, D. B. 1991. Introduction to Finite Elements in Engineering, New Jersey.
- Topcu, M. 1998. "Elasto-Plastik Gerilme Analizi İçin Bir Paket Program", PAÜ-Mühendislik Bilimleri Dergisi, Cilt 4 (1-2), 519-525.
- 
-